
Столкновения тяжелых ионов



Деманов Александр

18.06.2024

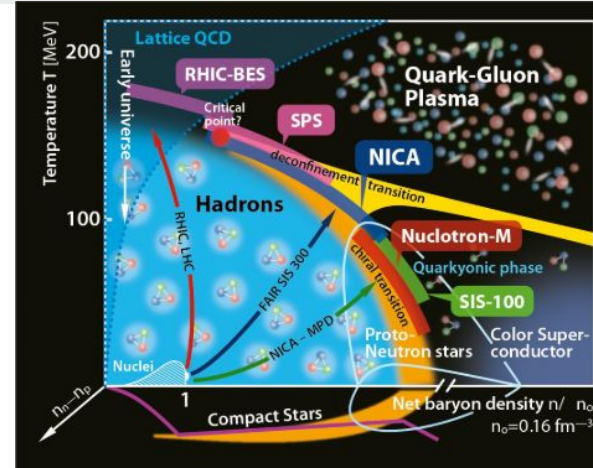
Столкновение тяжелых ионов

В столкновениях тяжелых ионов образуется сильновзаимодействующая материя.

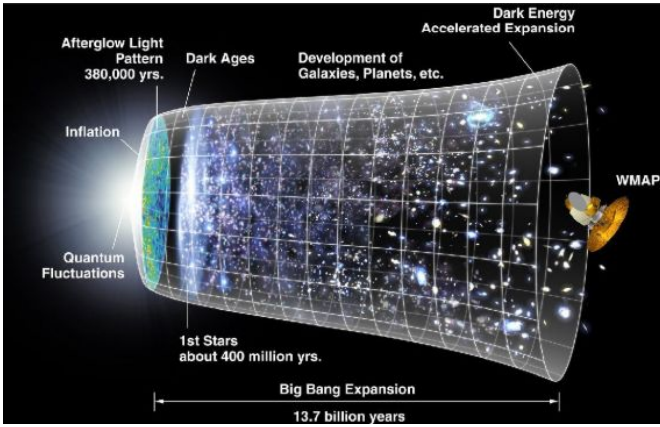
- Изучить свойства КГМ

Чем интересно изучение свойств КГМ:

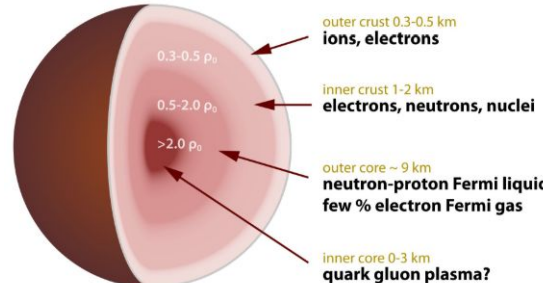
- присутствует в первые микросекунды Большого взрыва
- свойства/слияний нейтронных звезд



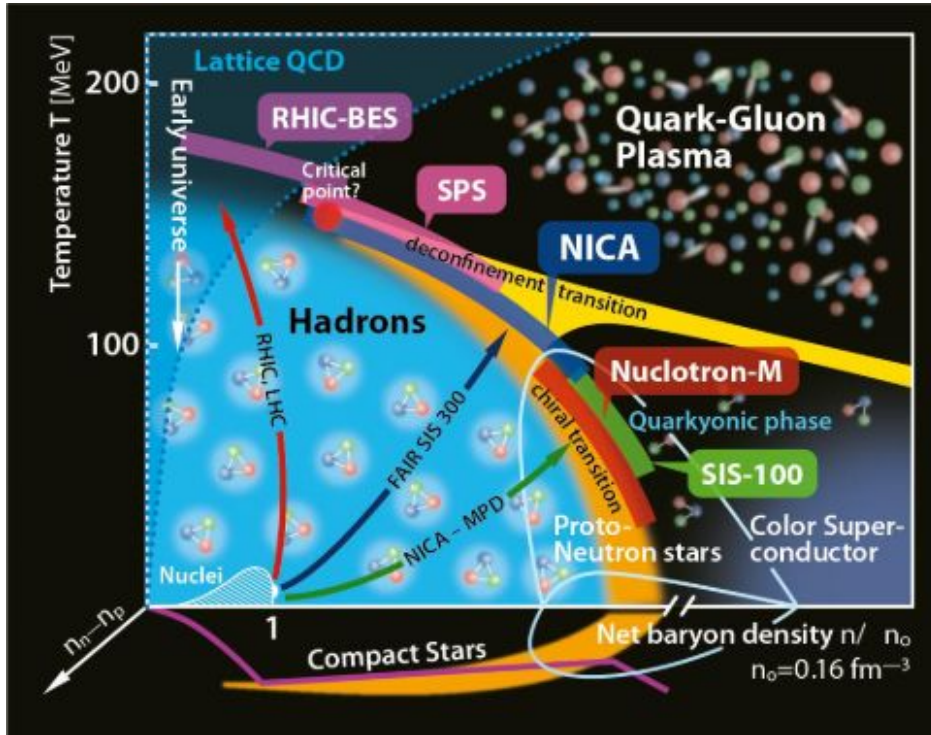
Высокие энергии



Низкие энергии ($\sqrt{s_{NN}} = 2.3\text{-}3.5 \text{ GeV}$)



Фазовая диаграмма КХД материи



Large Hadron Collider (LHC)

- $\sqrt{s_{NN}} \sim 5 \text{ TeV}$

Relativistic Heavy Ion Collider (RHIC)

- $\sqrt{s_{NN}} \sim 3 - 200 \text{ GeV}$

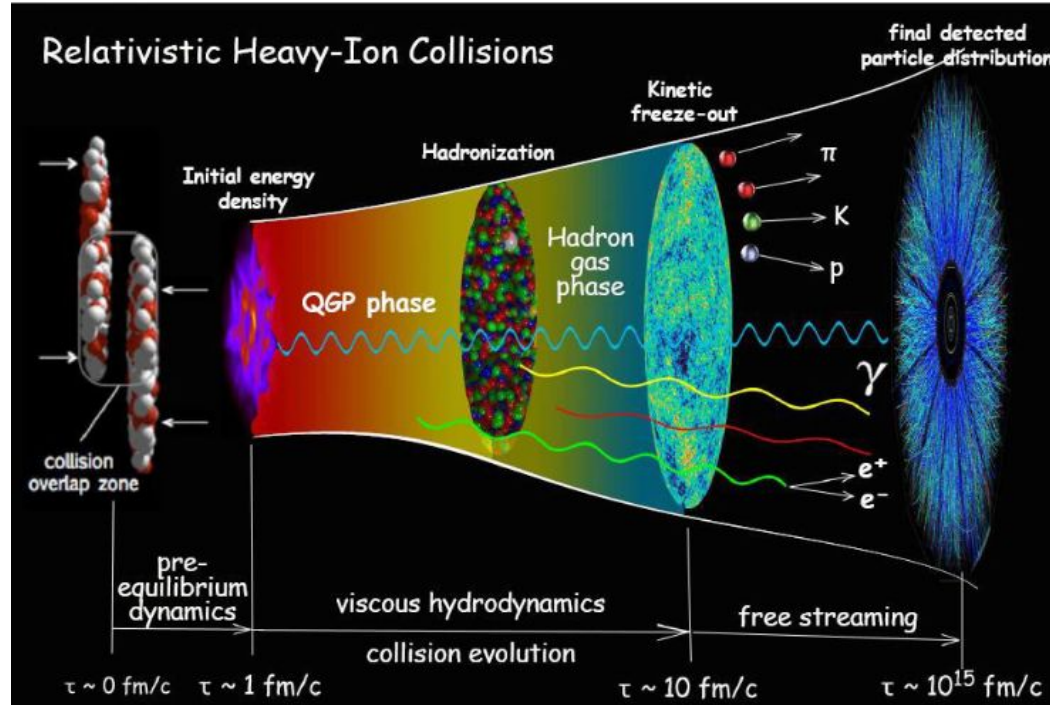
SIS-18

- $\sqrt{s_{NN}} \sim 2.5 \text{ GeV}$

Nuclotron

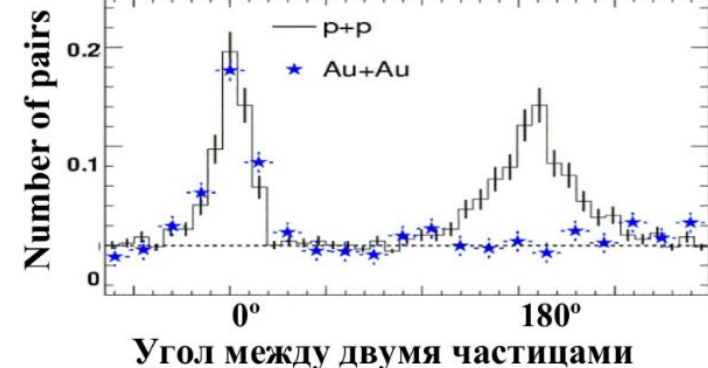
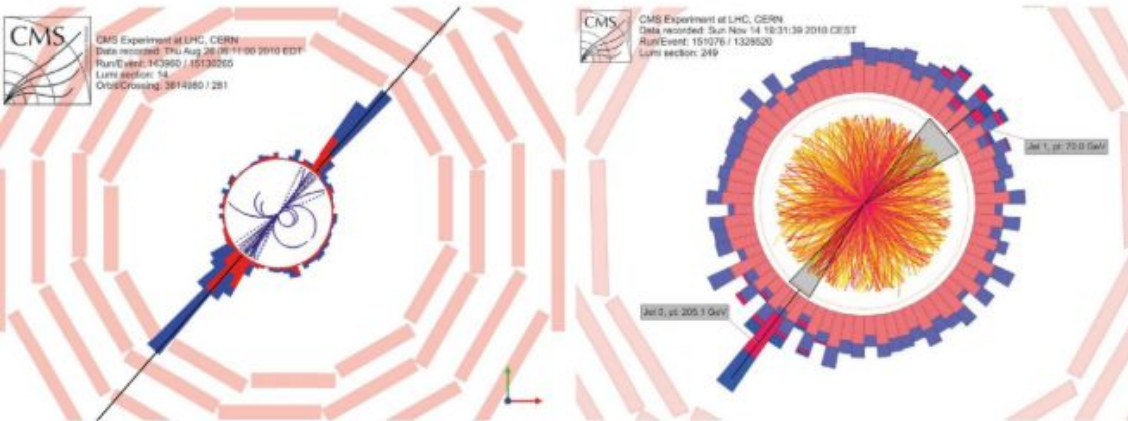
- $\sqrt{s_{NN}} \sim 2-4 \text{ GeV}$

ЭВОЛЮЦИЯ СИСТЕМЫ В СТОЛКНОВЕНИЯХ ТЯЖЕЛЫХ ИОНОВ



- В экспериментах мы можем измерить частицы только в конечном состоянии
- Вывод о свойствах раннего состояния столкновений делается на основе сравнения результатов измерений наблюдаемых величин с модельными прогнозами.

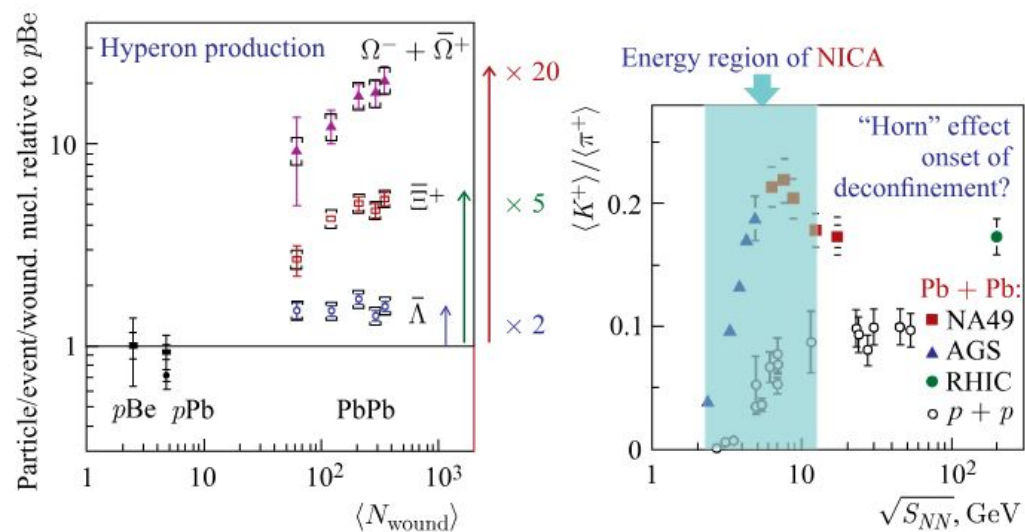
Сигнал КГМ: Гашение струй (jet quenching)



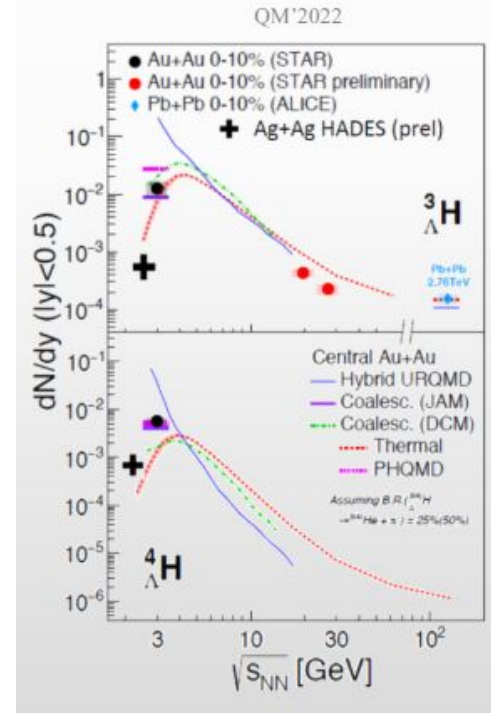
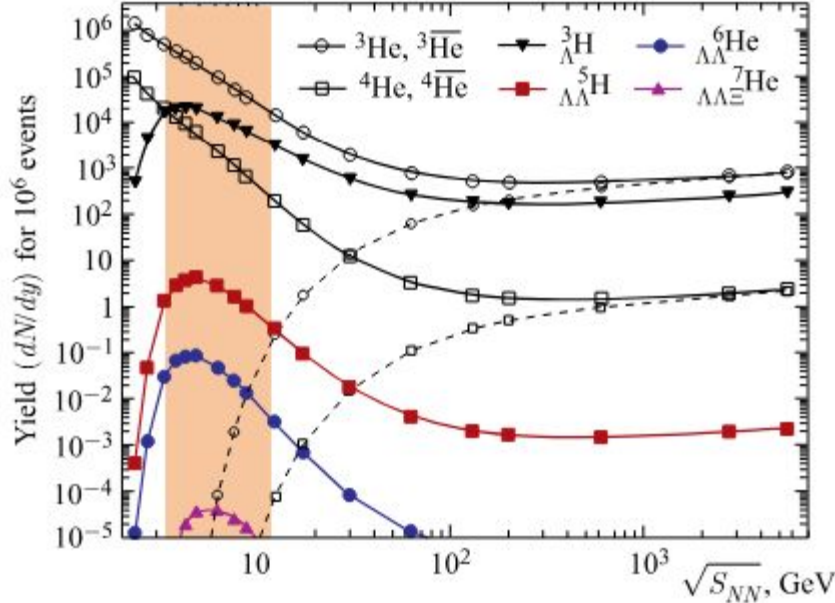
- В p - p столкновениях образуются две «back-to-back» струи
- В A - A столкновениях вторая струя подавляется при прохождении через плотную среду за счёт сильных взаимодействий

Сигнал КГМ: усиление выхода странных частиц

- С середины 80-х годов усиление странности считается признаком образования КГП (Phys. Rev. Lett. 48, 1066)
- Экспериментально наблюдается в столкновениях тяжелых ионов при энергиях AGS, SPS, RHIC и LHC.
- При возникновении КГП глюоны будут создавать ss пары, приводящие к увеличению выхода странных частиц
- Также наблюдаем этот эффект и для малых систем в столкновениях с высокой множественностью



КГП: гиперядра

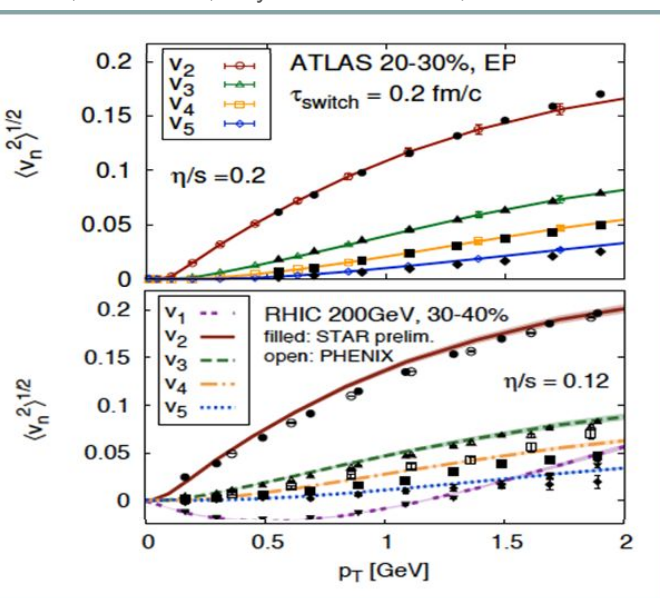


- Ожидается увеличенный выход гиперядер при низких энергиях
- Представляет интерес для ядерной астрофизики: ожидается, что гиперядра будут существовать во внутреннем ядре нейтронных звезд

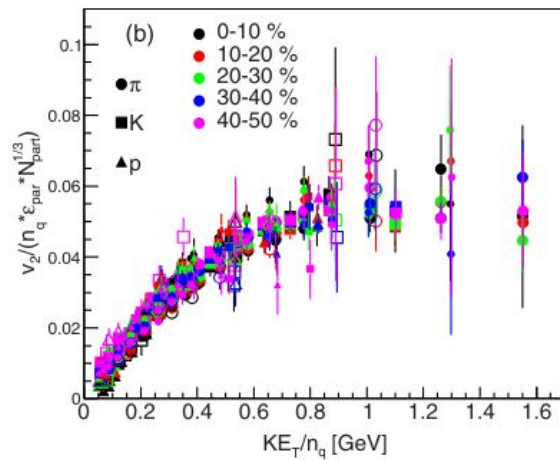
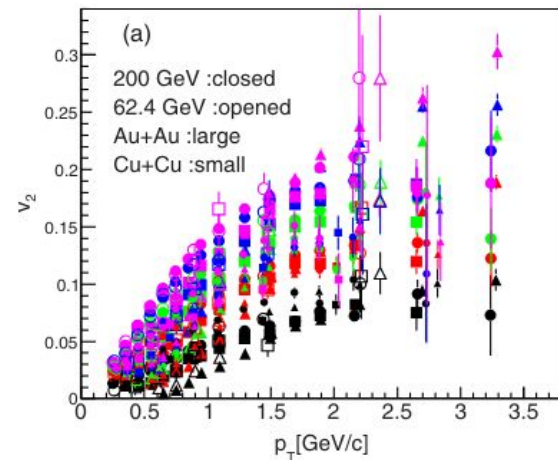
Сигнал КГП: коллективные потоки (высокие энергии)

- Сравнивая экспериментальные данные с гидродинамическими прогнозами, было установлено, что QGM ведет себя как идеальная жидкость.
- NCQ-скейлинг \rightarrow коллективные эффекты зарождаются на стадии деконфайнмента

Gale, Jeon et al., Phys. Rev. Lett. 110, 012302

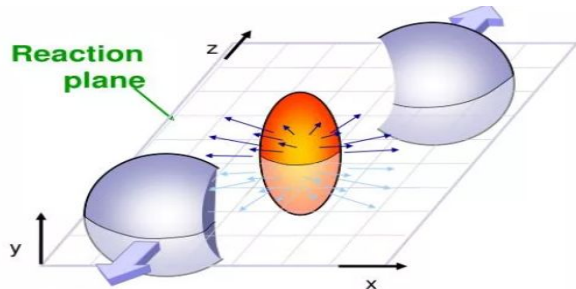


Phys. Rev. C 92 (2015) 3, 034913



Коллективные потоки

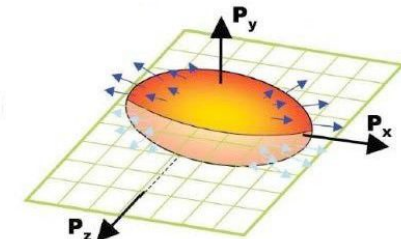
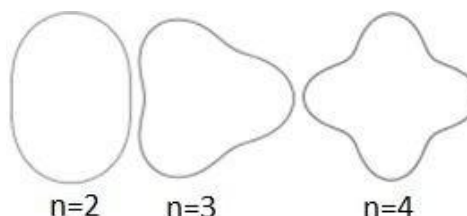
Spatial anisotropy of the nuclear overlap region



$$\epsilon_n = \sqrt{\frac{\langle r^n \cos n\phi \rangle + \langle r^n \sin n\phi \rangle}{\langle r^n \rangle}}$$

$$\epsilon_n \propto v_n$$

Azimuthal distribution of produced particles wrt to reaction plane (Ψ_n)



$$\frac{dN}{d\varphi} \propto \left(1 + 2 \sum_n v_n \cos[n(\varphi - \psi_n)] \right)$$

Collective flow: $v_n = \langle \cos[n(\varphi - \psi_n)] \rangle$

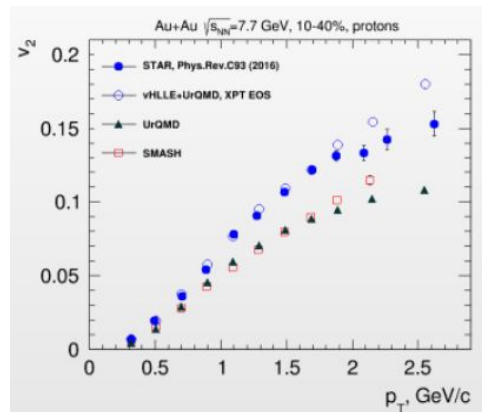
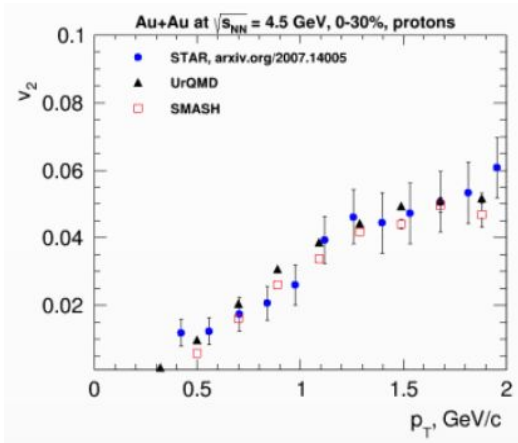
v_1 is called directed and v_2 is called elliptic flow

Коллективные потоки (низкие энергии)

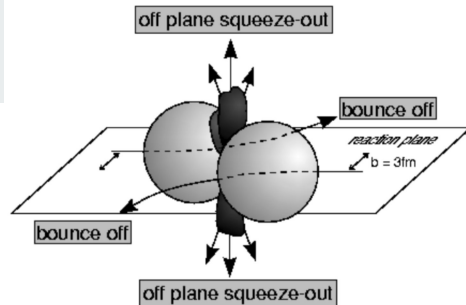
При более низких энергиях, потоки чувствительны к расширению области взаимодействия и к взаимодействию с спектаторами:

- RHIC @ 200 GeV ($2R/\gamma$) ~ 0.1 fm/c
- AGS @ 3-4.5 GeV ($2R/\gamma$) $\sim 9-5$ fm/c

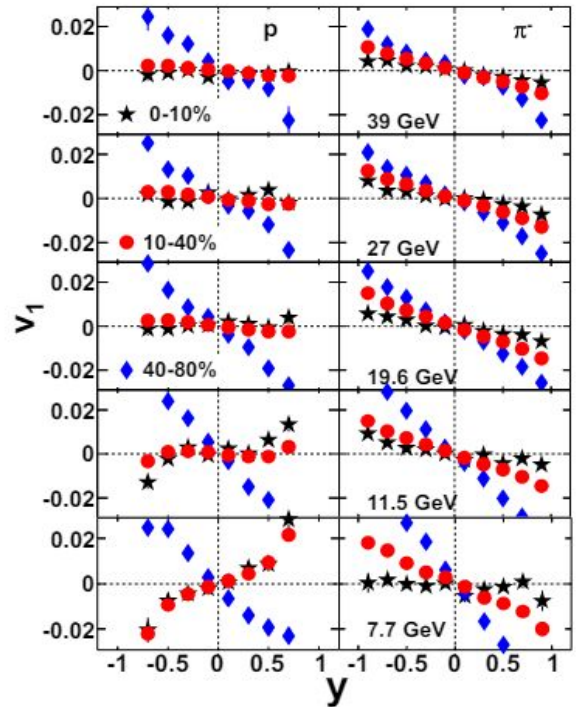
v_1 и v_2 демонстрируют сильную зависимость от центральности, энергии столкновения и типа частиц.



Область энергии NICA \rightarrow Исследование транспортные свойства КГП и начало фазового перехода



Phys.Rev.Lett. 112 (2014) 16, 162301



Запасные слайды

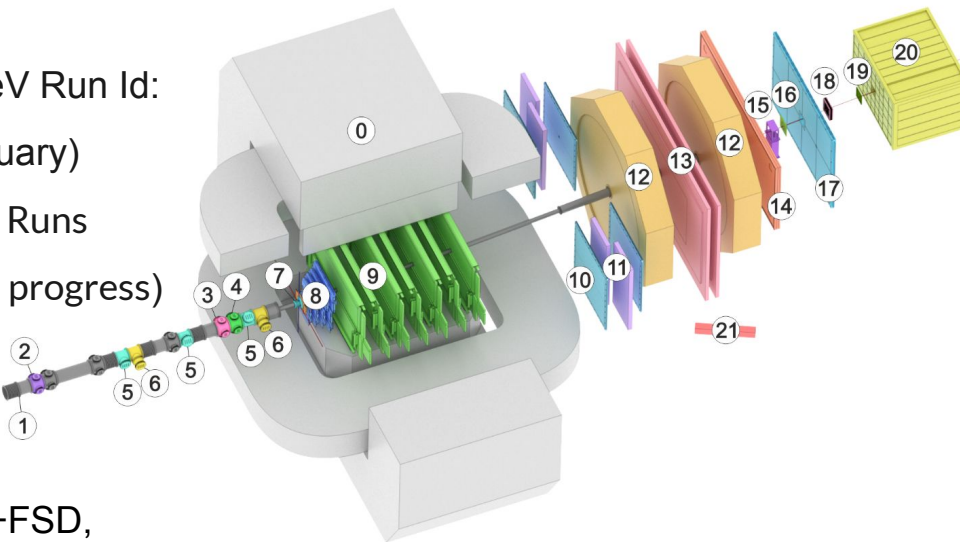
The BM@N experiment

Data:

- run8 Xe-CsI @3.8A GeV Run Id:
 - 6600-8300 (February)
 - 7200-8300 (May, Runs 6900-7200 are in progress)
- VF tracking was used

QA Run-by-Run:

- Tracking system GEM+FSD,
- BC, FD
- FHCAL
- FQH
- TOF-400, TOF-700

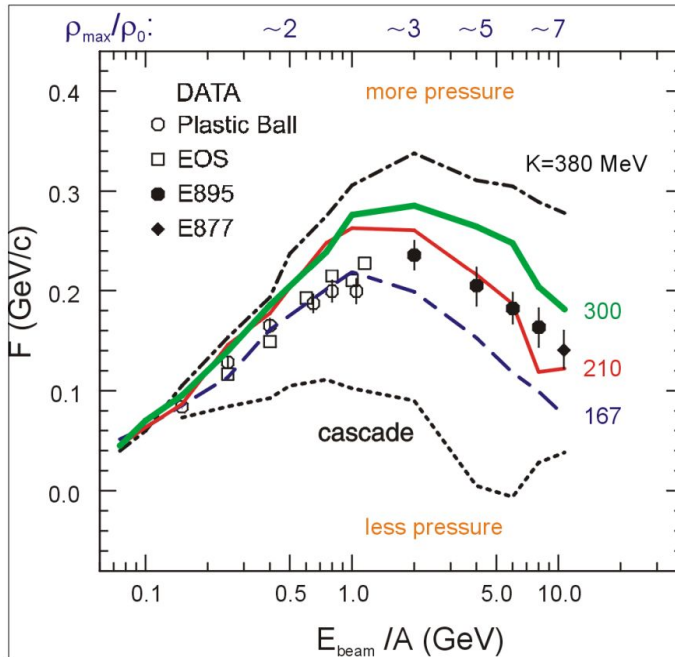


■	Magnet SP-41 (0)
■	Vacuum Beam Pipe (1)
■	BC1, VC, BC2 (2-4)
■	SiBT, SiProf (5, 6)
■	Triggers: BD + SiMD (7)
■	FSD, GEM (8, 9)
■	CSC 1x1 m ² (10)
■	TOF 400 (11)
■	DCH (12)
■	TOF 700 (13)
■	ScWall (14)
■	FD (15)
■	Small GEM (16)
■	CSC 2x1.5 m ² (17)
■	Beam Profilometer (18)
■	FQH (19)
■	FHCAL (20)
■	HGN (21)

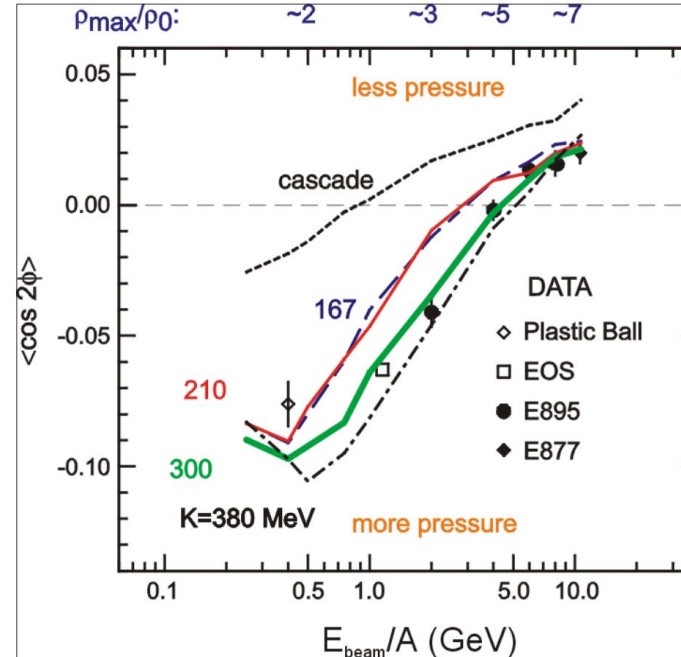
Interpretation of the previous flow data

P. DANIELEWICZ, R. LACEY, W. LYNCH
10.1126/science.1078070

v_1 suggests $K \approx 210$ MeV



v_2 suggests $K=310 \div 380$ MeV



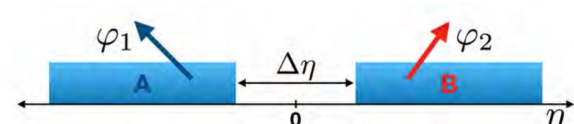
- Данные в эксперименте E895 имеют неоднозначную интерпретацию: v_1 предполагает жесткое EOS, тогда как v_2 соответствует мягкому EOS.
- Дополнительные измерения необходимы для уточнения предыдущих измерений.

Methods for v_n measurements

- **Sub-event 2-particle Q-cumulants $v2\{2\}$:** $\Delta\eta=0.1$ is applied between 2 sub-events A, B to suppress non-flow

$$Q_n = \sum_{i=1}^M e^{in\phi} \quad \langle 2 \rangle_{a|b} = \frac{Q_{n_a} Q_{n,b}^*}{M_a M_b}$$

$$v_2\{2\} = \sqrt{\langle\langle 2 \rangle\rangle_{a|b}}$$

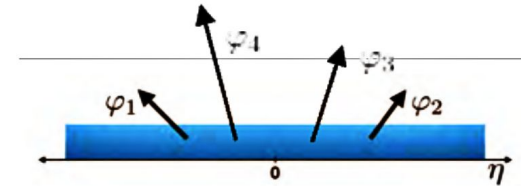


- **4-particle Q-cumulants $v2\{4\}$**

$$\langle 2 \rangle = \frac{|Q_n|^2 - M}{M(M-1)}$$

$$\langle 4 \rangle = \frac{|Q_n|^4 + |Q_{2n}|^2 - 2\Re[Q_{2n}Q_n^*Q_n^*] - 4(M-2)|Q_n|^2 - 2M(M-3)}{M(M-1)(M-2)(M-3)}$$

$$v_2\{4\} = \sqrt[4]{2\langle\langle 2 \rangle\rangle^2 - \langle\langle 4 \rangle\rangle}$$



Sensitivity of $v_2\{QC\}$ to flow fluctuations and non-flow

- Non-flow contribution for k-particle cumulants:

$$\delta_k \sim 1/M^{k-1}$$

- Elliptic flow fluctuations: $\sigma_{v_2}^2 = \langle v_2^2 \rangle - \langle v_2 \rangle^2$

- Assuming $\sigma_{v_2} \ll \langle v_2 \rangle$, fluctuations enhance

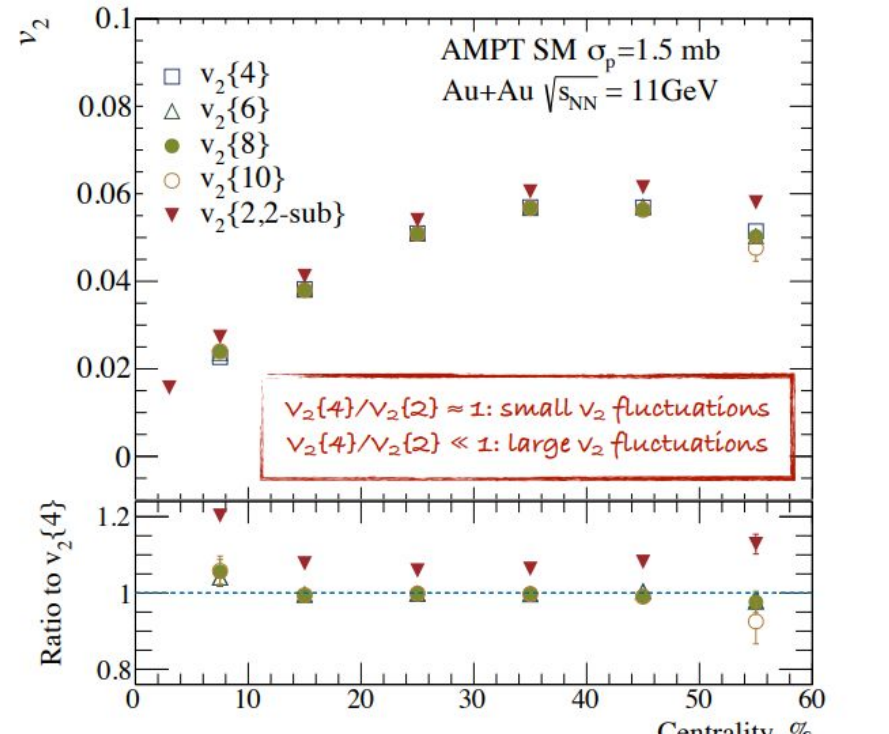
$v_2\{2\}$ and suppress $v_2\{2k, k>1\}$ compared to $\langle v_2 \rangle$

$$v_2\{2\} \approx \langle v_2 \rangle + \frac{1}{2} \frac{\sigma_{v_2}^2}{\langle v_2 \rangle}$$

$$v_2\{4\} \approx \langle v_2 \rangle - \frac{1}{2} \frac{\sigma_{v_2}^2}{\langle v_2 \rangle}$$

- Assuming a Gaussian form of fluctuations

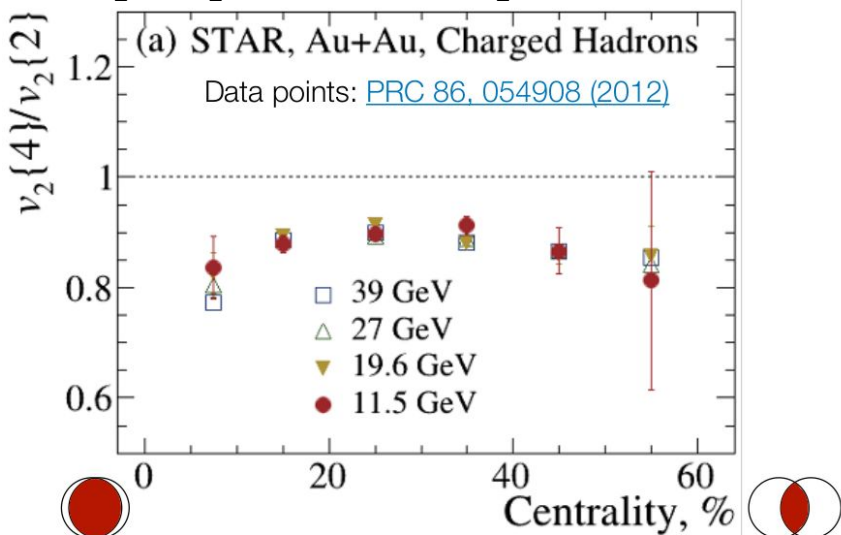
$$v_2\{4\} \approx v_2\{6\} \approx v_2\{8\} \approx v_2\{10\}$$



$$v_2\{2\} > v_2\{4\} \approx v_2\{6\} \approx v_2\{8\} \approx v_2\{10\}$$

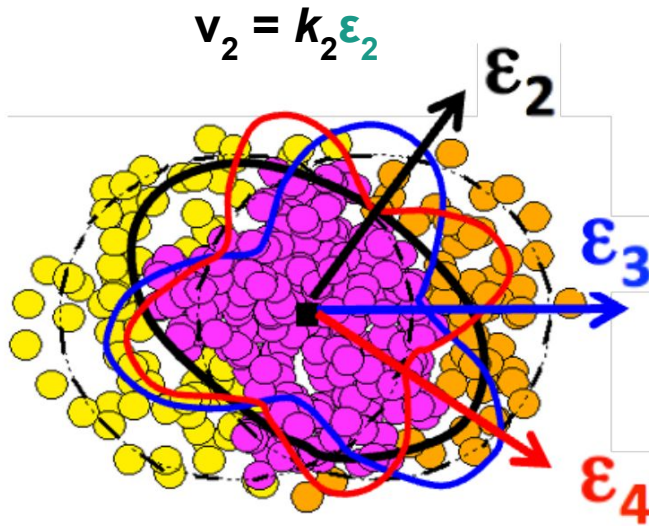
Motivation: study of v_2 fluctuation

$v_2\{4\}/v_2\{2\} \approx 1$: small v_2 fluctuations
 $v_2\{4\}/v_2\{2\} \ll 1$: large v_2 fluctuations



v_2 fluctuations at $\sqrt{s_{NN}} = 11.5 - 39$ GeV observed in STAR:

- Weak dependence on collision energy



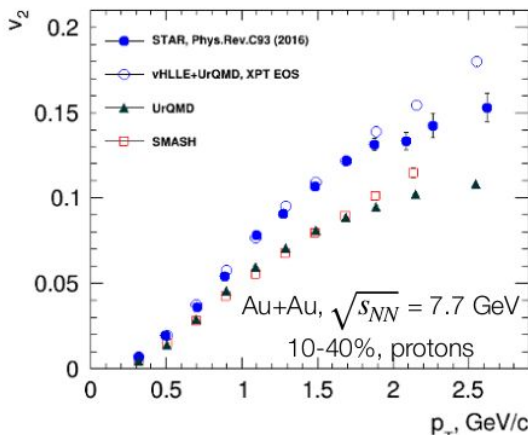
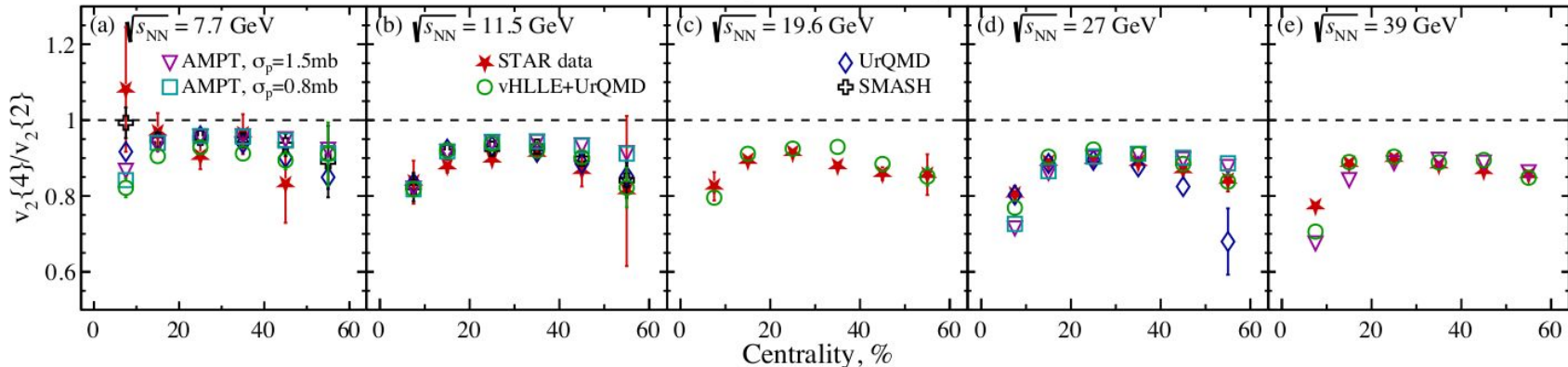
- Indicate a dominated initial state driven fluctuations $\sigma \epsilon_2$
- Provide constraints for IS models and shear viscosity $\eta(T/s)$

How about v_2 fluctuations at NICA energies?

v_2 fluctuations at $\sqrt{s_{NN}} = 7.7 - 39 \text{ GeV}$

Au+Au, charged hadrons, $|\eta| < 1$

Particles 2023, 6(1), 17-29;



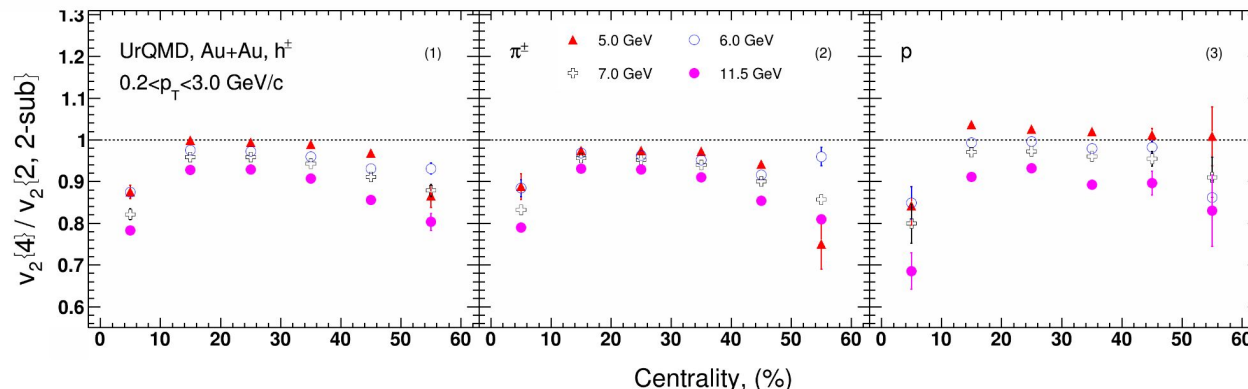
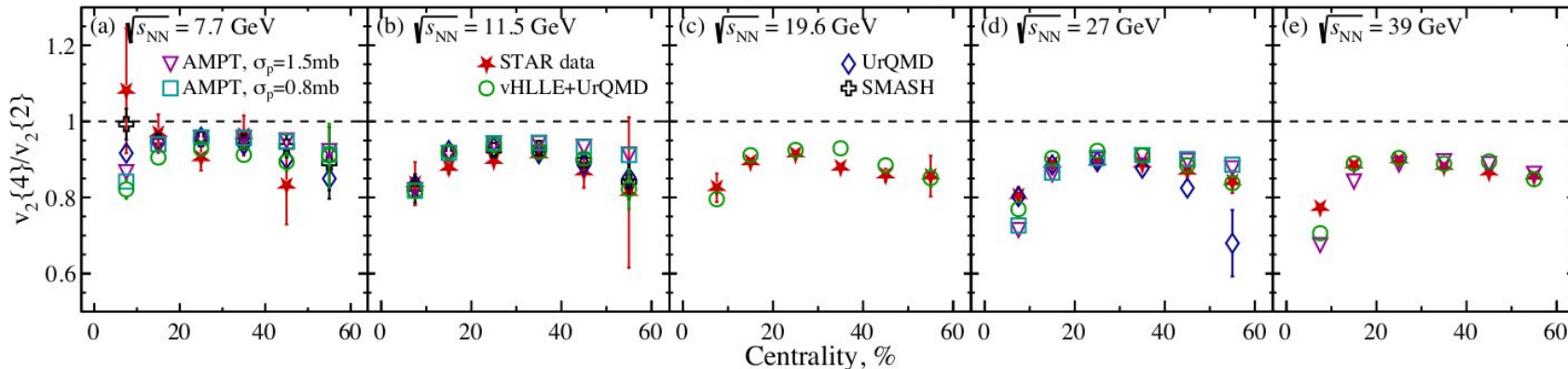
- At $\sqrt{s_{NN}} > 7.7 \text{ GeV}$ pure string/cascade models without QGP phase underestimate v_2
- v_2 fluctuations observed in STAR can be reproduced by model either with or without partonic phase description
 - v_2 fluctuations dominated by ϵ_2 fluctuations
 - $v_2\{4\}/v_2\{2\}$: direct probe for the initial state conditions

What about v_2 fluctuations at lower energies?

v_2 fluctuations at $\sqrt{s_{NN}} = 7.7 - 39 \text{ GeV}$

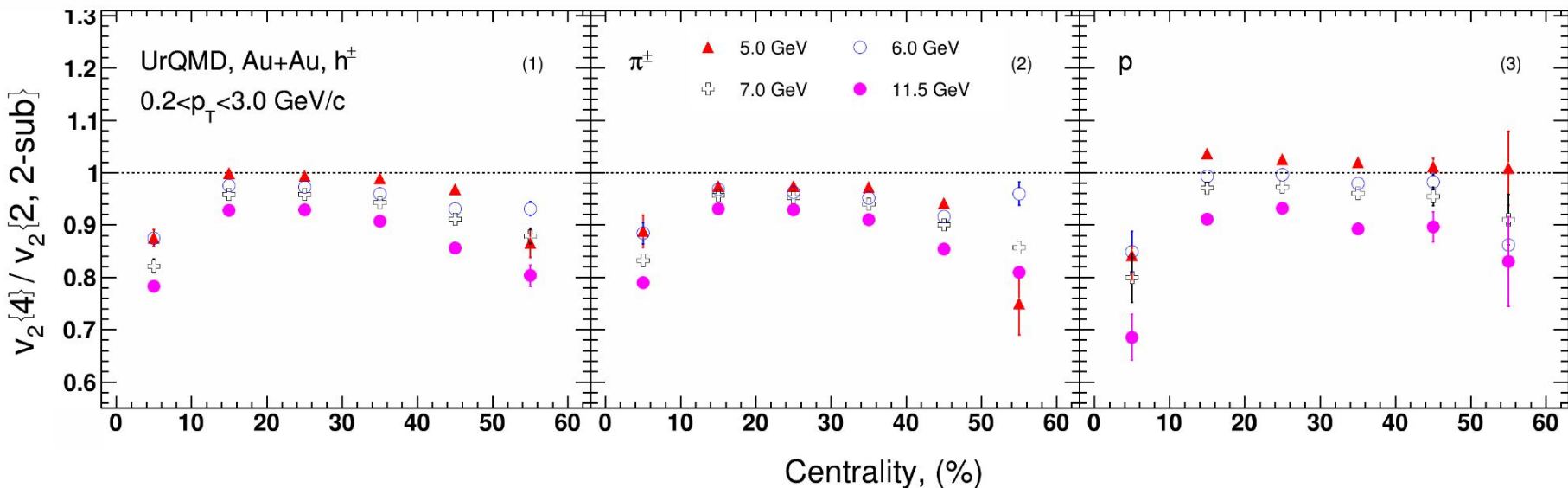
Au+Au, charged hadrons, $|\eta| < 1$

Particles 2023, 6(1), 17-29;



v_2 fluctuations decrease with decreasing energy at NICA energy range at $\sqrt{s_{NN}} = 4 - 11.5 \text{ GeV}$

v_2 fluctuations at $\sqrt{s_{NN}} = 5 - 11.5$ GeV

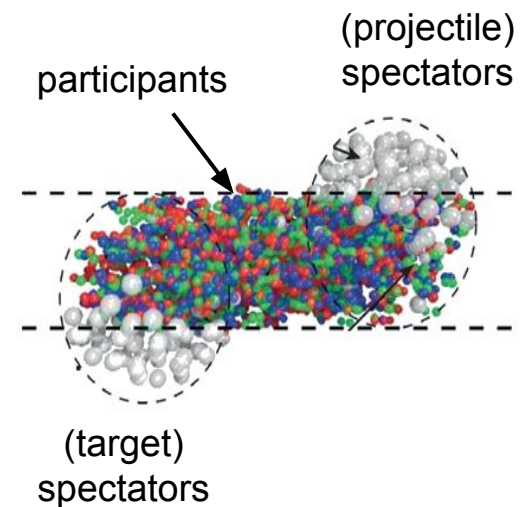


- v_2 fluctuations decrease with decreasing energy at NICA energy range at $\sqrt{s_{NN}} = 4-11.5$ GeV
- The ratio $v_2\{4\}/v_2\{2\}$ has particle dependence

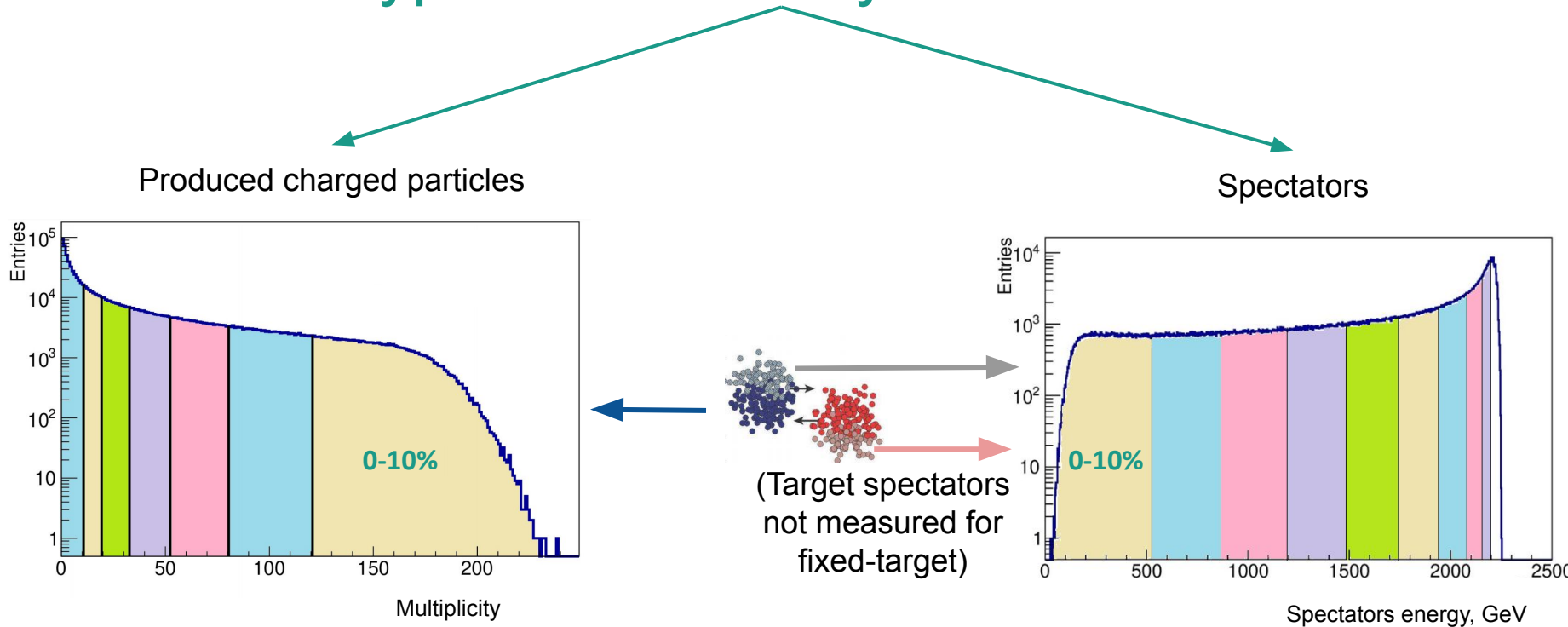
Motivation for centrality determination

- Evolution of matter produced in heavy-ion collisions depends on its initial geometry
- **Goal of centrality determination:**
map (on average) the collision geometry parameters
to experimental observables (centrality estimators)
- Centrality class S_1 - S_2 : group of events corresponding to
a given fraction (in %) of the total cross section:

$$C_S = \frac{1}{\sigma_{inel}^{AA}} \int_{S_1}^{S_2} \frac{d\sigma}{dS} dS$$



Types of centrality estimators



MC Glauber model

MC Glauber model provides a description of the initial state of a heavy-ion collision

- Independent straight line trajectories of the nucleons
- A-A collision is treated as a sequence of independent binary NN collisions
- Monte-Carlo sampling of nucleons position for individual collisions

Main model parameters

- Colliding nuclei
- Inelastic nucleon-nucleon cross section (σ_{inel} depends on collision energy)
- Nuclear charge densities (Wood-Saxon distribution)

$$\rho(r) = \rho_0 \cdot \frac{1 + w(r/R)^2}{1 + \exp\left(\frac{r-R}{a}\right)}$$

Geometry parameters

- b – impact parameter
- N_{part} – number of nucleons participating in the collision
- N_{spec} – number of spectator nucleons in the collision
- N_{coll} – number of binary NN collisions

